

Math-Net.Ru

Общероссийский математический портал

В. В. Потапов, Д. С. Горев, Производство нанодисперсных порошков кремнезема с применением мембран и криохимической вакуумной сублимации, *Вестник КРАУНЦ. Физ.-мат. науки*, 2012, выпуск 1(4), 51–60

DOI: <http://dx.doi.org/10.18454/2079-6641-2012-4-1-51-60>

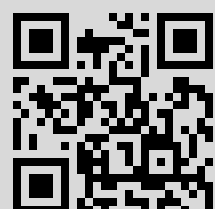
Использование Общероссийского математического портала Math-Net.Ru подразумевает, что вы прочитали и согласны с пользовательским соглашением

<http://www.mathnet.ru/rus/agreement>

Параметры загрузки:

IP: 77.82.194.116

16 июля 2016 г., 16:08:33



DOI: 10.18454/2079-6641-2012-4-1-51-60

НАНОТЕХНОЛОГИИ

УДК 54.052

ПРОИЗВОДСТВО НАНОДИСПЕРСНЫХ ПОРОШКОВ КРЕМНЕЗЕМА С ПРИМЕНЕНИЕМ МЕМБРАН И КРИОХИМИЧЕСКОЙ ВАКУУМНОЙ СУБЛИМАЦИИ

Потапов В.В.^{1,2}, Горев Д.С.²

¹ Научно-исследовательский геотехнологический центр ДВО РАН, 683002 Северо-Восточное шоссе, 30, а/я 56,

² Филиал Дальневосточного Федерального государственного университета, 683031, г. Петропавловск-Камчатский, ул. Тушканова, 11/1.

E-mail: tatyana-goreva@yandex.ru

Разработан вариант производства нанодисперсных порошков кремнезема из природных гидротермальных растворов. Получены золи кремнезема с содержаниями SiO_2 до 600 г/дм³ (43,0 мас. %) и радиусами частиц 29–135 нм.

Ключевые слова: гидротермальный раствор, золь кремнезема, нанопорошки кремнезема.

© Потапов В.В., Горев Д.С., 2012

NANOTECHNOLOGY

MSC 82D80

NANOPOWDER PRODUCTION OF SILICA USING MEMBRANE AND VACUUM SUBLIMATION CRYOCHEMICAL

Potapov V.V.^{1,2}, Gorev D.S.²

¹ Russian Academy of Sciences research geotechnological center, 683002, north-east of the highway, 30

² Branch of the Far Eastern Federal State University, 683031, Petropavlovsk-Kamchatsky, Tushkanova st., 11 / 1

E-mail: tatyana-goreva@yandex.ru

A variant of the production of nanopowders of silica from natural hydrothermal solutions. Derived silica sols with the contents of SiO_2 to 600 g/l³ (43,0 wt. %) And the radius of the particles 29-135 nm.

Key words: hydrothermal solution, silica sol, silica nanopowder.

© Potapov V.V., Gorev D.S., 2012

ВВЕДЕНИЕ

Поиск новых источников кремнезема обусловлен ростом потребления аморфных кремнеземов современной промышленностью, в том числе в высокотехнологичных отраслях, связанных с производством наноструктурных материалов. Экономическая целесообразность выделения кремнезема из гидротермальных растворов обусловлена комплексным использованием этих растворов в энергоминеральном производстве. Глубокая очистка раствора от коллоидного кремнезема повышает эффективность использования энергетического потенциала теплоносителя, дает дополнительное количество электрической и тепловой энергии за счет снижения температуры обратной закачки раствора, и одновременно с этим получение минерального сырья в виде аморфного нанодисперсного кремнезема [1].

ПРОИЗВОДСТВО НАНОДИСПЕРСНЫХ ПОРОШКОВ КРЕМНЕЗЕМА

Гидротермальные растворы представляют собой нетрадиционный источник минерального сырья, в том числе аморфных кремнеземов. Кремнезем образуется в природном растворе из молекул ортокремниевой кислоты (OKK) в результате ее химического взаимодействия с алюмосиликатными минералами пород в недрах гидротермальных месторождений. При подъеме раствора на поверхность по продуктивным скважинам и снижения температуры раствор становится пересыщенным и в нем проходят поликонденсация и нуклеация молекул OKK, приводящие к формированию сферических наночастиц кремнезема с радиусами 5–100 нм. Кроме кремнезема в растворе находятся и другие компоненты, концентрации которых приведены в следующей табл. 1.

Таблица 1

**Концентрация основных
компонентов исходного
гидротермального раствора**

Компонент	Концентрация, мг/л
Na^+	282
K^+	48,1
Li^+	1,5
Ca^{2+}	2,8
Mg^{2+}	4,7
$\text{Fe}^{2+,3+}$	<0,1
Al^{3+}	<0,1
Cl^-	251,8
SO_4^{2-}	220,9
HCO_3^-	45,2
CO_3^{2-}	61,8
H_3BO_3	91,8
SiO_2	780

Следует отметить, что кремнезем находится в растворе в двух состояниях твердом и растворенном, концентрация которого составляет 200 мг/л.

Существует технологический подход к выделению полезных компонентов гидротермальных растворов на основе их баромембранныго концентрирования. В результате баромембранныго концентрирования получают стабильные водные золи кремнезема. Концентрированные водные золи кремнезема получали из жидкой фазы гидротермальных теплоносителей (сепараторов) скважин Мутновских геотермальных электрических станций (ГеоЭС). Отделение (сепарацию) жидкой фазы от паровой фазы двухфазного потока проводили в сепраторах ГеоЭС. Диапазон значений pH исходного сепарата 4,5 – 9,4, концентрации кремнезема $C_t = 400 – 800$ мг/кг, температура раствора от 20 до 90 $^{\circ}C$.

Установка для мембранныго концентрирования гидротермального раствора включала патрон (патроны) с мембранными фильтрами, насос, расходомеры, манометры, запорную и регулирующую арматуру, емкости исходного раствора, концентрата и фильтрата. В экспериментах были изучены возможности использования для концентрирования гидротермальных растворов основных мембранных процессов: микрофильтрации, ультрафильтрации, нанофильтрации и обратного осмоса. Эксперименты с мембранами показали преимущество ультрафильтрации при получении концентрированных золей кремнезема [2]. Поэтому для накопления значительных объемов золей применяли в большинстве случаев ультрафильтрацию, либо комбинацию ультрафильтрации и микрофильтрации. Использованы ультрафильтрационные мембранны капиллярного типа. Исходная среда подается в длинные капиллярные трубы, стенки которых представляют собой мембранный слой. При движении внутри трубы часть среды фильтруется наружу в радиальном направлении и накапливается в корпусе фильтр-патрона в пространстве между трубками (фильтрат). Та часть среды, которая прошла по всей длине трубы, не фильтруясь через стенки мембранны (концентрат), поступает в коллектор концентрата и выводится из патрона в осевом направлении. Фильтрат выводится из корпуса фильтр патрона в боковом направлении. Применяли мембранны, выполненные из полиэфирсульфона, либо полиакрилонитрила. Диаметры пор мембранныго слоя распределены в диапазоне 20-100 нм. Характеристики ультрафильтрационных мембранны и фильтр-патронов, использованных в экспериментах приведены в табл. 2.

Концентрирование проводили в три этапа: на первом этапе достигали содержаний SiO_2 3–10 г/дм³, на втором — 10–30 г/дм³, на третьем — 100–600 г/дм³ (10–43,0 мас. %). На первом этапе применяли фильтры крупного типоразмера, на втором — среднего типоразмера, на третьем — малого типоразмера.

Установлено, что ультрафильтрационные мембранны имеют селективность по коллоидному кремнезему около 1,0 без предварительного добавления коагулянтов и низкую селективность по молекулам кремнекислоты и ионам. Поэтому с помощью ультрафильтрации можно получить раствор с высоким содержанием SiO_2 и низкой концентрацией примесных ионов — Na^+ , K^+ , Ca^{2+} , Mg^{2+} , $\text{Fe}^{2,3+}$, Al^{3+} , SO_4^{2-} , Cl^- .

С помощью разбавления золя и повторного ультрафильтрационного концентрирования можно добиваться снижения концентрации примесных ионов.

Таким образом, ультрафильтрация имеет преимущества перед другими мембранными процессами при решении задачи получения стабильных концентрированных водных золей кремнезема с низким содержанием примесей.

Для концентрирования золей с большими диаметрами частиц (40-70 нм и более) можно применять микрофильтрацию.

Содержание SiO_2 в золях кремнезема при использовании ультрафильтрационных мембранны было доведено до 100-600 г/дм³. Плотность золей была в пределах 999–

Таблица 2

Параметры ультрафильтрационных мембранных фильтров

Характеристика ультрафильтрационного мембранных фильтра	Малый типоразмер	Средний типоразмер	Крупный типоразмер	
			Однопатронный модуль	Двухпатронный модуль
Внешний диаметр волокна, нм	0,6	1,6	2,0	1,6
Внутренний диаметр волокна, нм	0,4	1,0	1,2	1,0
Материал капиллярных волокон	Полиэфир-сульфон	Полиакрилонитрил	Полиэфир-сульфон	Полиакрилонитрил
Количество полых волокон, шт.	1150	1500	2520	3000
Площадь мембранных слоев одного волокна, м ²	0,00027	0,00166	0,0056	0,00333
Суммарная площадь мембранных слоев, м ²	0,31	2,5	15,0	10,0
Размер модуля, мм	315x65	550x100	1500x220	1260x90

1325 г/дм³, динамическая вязкость 1–150 мПа·с, радиусы частиц кремнезема 5–135 нм, дзета-потенциал частиц –32,4...42,5 мВ.

С учетом полученных экспериментальных данных основными стадиями баромембранного концентрирования являются:

- 1) старение исходного гидротермального раствора при определенном температурном режиме, нуклеация и поликонденсация ортокремниевой кислоты, рост наночастиц кремнезема;
- 2) ввод стабилизатора для предотвращения агрегации наночастиц;
- 3) фильтрование раствора через мембранные фильтр-патроны с целью концентрирования, проводимое в несколько этапов (2-3 этапа);
- 4) удаление ионов (ионы Na^+ , K^+ , Ca^{2+} , Mg^{2+} , $Fe^{2+,3+}$, Al^{3+} , SO_4^{2-} , Cl^-) из полученного золя методом ионного обмена (ионобменные колонны, фильтры) для повышения химической чистоты золя и его стабилизации, либо разбавление золя и его повторное концентрирование.

Концентрированные водные золи кремнезема были использованы для получения малоагрегированных нанодисперсных порошков. Для выделения твердой фазы из водных золей применимы коагуляция (флокуляция), золь-гель переход, криохимическая технология [3],[4]. Криохимическая технология, основанная на сочетании

низко- и высокотемпературных воздействий на перерабатываемые материалы, предоставляет широкие возможности для получения нанодисперсных материалов, в том числе и из золей, суспензий [5].

Технологическая схема криохимической нанотехнологии включает следующую последовательность основных технологических фаз производства:

- подготовка концентрированной водной золи кремнезема;
- диспергирование золи и криокристаллизация капель дисперсной среды;
- сублимационное удаление растворителя из криогранулята, полученного на предыдущей стадии;
- утилизация (десублимация) растворителя.

Диспергирование растворов на отдельные капли применяют для создания развитых межфазных поверхностей, обеспечивающих высокую интенсивность тепло- и массообменных процессов, сопровождающих технологические фазы криокристаллизации и сублимации.

Главная цель процесса криокристаллизации заключается в сохранении высокой химической и гранулометрической однородности, присущих диспергируемой золи. Возможность сохранения высокой химической однородности определяется различными условиями, в том числе размером замораживаемых капель раствора, его температурой, физико-химической природой и температурой хладоагента. Гранулометрическая однородность продукта характеризуется размерами как самих криогранул, так и дисперсных кристаллитов, образованных на стадии старения исходного гидротермального раствора.

Особенность криогранулирования состоит в том, что процесс кристаллизации водной золи проводят при температурах, значительно более низких, чем температура замерзания воды. Такое понижение температуры необходимо для увеличения скорости замораживания, что позволяет исключить агрегацию и зафиксировать равномерно распределенные наночастицы кремнезема, находящегося в золе, в твердом состоянии. В дальнейшем при сублимационном удалении воды остается малоагрегированный порошок кремнезема, с дисперсностью соответствующей дисперсности кремнезема в водном золе.

Стадию сублимации льда проводят при давлении более низком, чем давление, соответствующее тройной точки воды, для которой эти параметры составляют: давление ($p = 610$ Па) и температура ($T = 0,0076$ °C). Это позволяет свести к минимуму агломерацию сформировавшихся на стадии замораживания частиц кремнезема, благодаря исключению появления фрагментов капельной влаги.

На стадии сублимации теплоту, затрачиваемую на испарение льда, к продукту подводят путем кондуктивного теплопереноса (теплопроводностью). Удельная теплота сублимации вещества $q_{\text{суб}}$ примерно равна сумме их удельных теплот плавления $q_{\text{пл}}$ и испарения $q_{\text{исп}}$. Для воды величина $q_{\text{суб}}$ достигает примерно 3 МДж/кг, а $q_{\text{пл}}$ составляет всего примерно 0,34 МДж/кг. Сублимационная сушка криогранул золя кремнезема проводилась на экспериментальной установке (рис. 1).

Основными частями экспериментальной установки являются автономная сублимационная камера (или сублиматор) с теплоподводящим устройством, десублиматор и вакуум-насосная система. В сублимационной камере происходит основной процесс

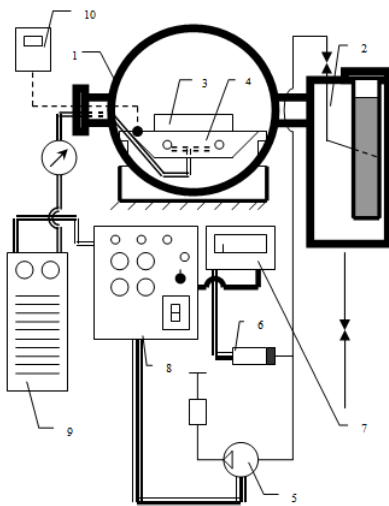


Рис. 1. Схема экспериментальной сублимационной установки: 1 – сублимационная камера; 2 – десублиматор; 3 – лоток с продуктом; 4 – греющая плита; 5 – вакуумный насос; 6 – преобразователь манометрический термопарный ПМТ-2; 7 – вакуумметр ВТ-2; 8 – пульт управления; 9 – регулятор напряжения универсальный (РУН); 10 – электронный термометр.

– сублимационная сушка, при которой осуществляется процесс перехода льда из кристаллического состояния в газообразное, минуя жидкую фазу. Камера снабжена системой подвода тепла к продукту, приборами контроля и регулирования процесса.

Теплоподводящее устройство, выполненное на основе пластинчатого теплообменника, служит для обеспечения энергоподвода к слою подвергаемого сублимационной сушке замороженного гранулированного материала. Температурный режим варьировался в диапазоне от 20 °C до 200 °C. В десублиматоре, который располагается в отдельном корпусе, происходит конденсация в твердом состоянии на охлаждаемой поверхности сублимированного пара при давлении ниже тройной точки.

Сублиматор и десублиматор соединены патрубками большого сечения, в которые установлены вакуумные вентили. Система вакуумирования предназначена для поддержания заданного уровня остаточного давления в течение всего процесса сушки. Система состоит из вакуум-насоса, вакуумной линии с запорными вентилями, преобразователя манометрического термопарного ПМТ-2 и регистрирующего прибора (вакуумметра термопарного ВТ-3).

Установка работает следующим образом: Лоток 3 с замороженными криогранулами исходного концентрированного золя кремнезема устанавливается в сублимационную камеру 1 на греющую плиту 4. Закрывается дверца камеры и включается вакуумный насос 5. Степень разряжения измеряется вакуумметром 7, работающим с термоэлектронным датчиком 6. Сублимированные пары растворителя поступают в десублиматор 2, где оседают на охлажденной поверхности колбы, наполненной жидким азотом. Не сконденсировавшиеся газы удаляются с помощью вакуум-насоса 5 в атмосферу через фильтр. При достижении в камере вакуума (2 – 1 Па), подается питание на греющую плиту. Температуру греющей плиты контролируют с помощью электронного термометра 10 и регулируют с помощью универсального регулятора напряжения (РУН) 9. Процесс сушки в таких условиях идет несколько часов. По-

сле окончания процесса сушки отключают установку от сети, сбрасывают вакуум в установке и извлекают лоток с высушенным материалом.

В табл. 3 показаны характеристики золей и порошков, полученных в одной из серий экспериментов.

Таблица 3

Характеристики порошков кремнезема, полученных криохимической сушкой золей

Образец	Условия старения сепарата перед баромембранным концентрированием			Средний радиус частиц в золе кремнезема перед криохимической сушкой, нм	Дзета-потенциал поверхности частиц, мВ	Плотность порошка, г/см ³	Тип изотермы адсорбции-десорбции (тип петли гистерезиса)	Площадь удельной поверхности (S_{BET}), м ² /г	Средний диаметр пор (d_p), нм	Суммарный объём пор (V_p), см ³ /г
	Температура, °C	pH								
УФ17	72	9,2	29,5	-39,5	0,035	II	166,53	6,22	0,259	
УФ18	70-50	9,2	29,55	-43,8	0,010	II	115,04	7,11	0,204	
УФ19	70-30	9,2	55,5	-56,0	0,010	II	118,30	7,78	0,230	
УФ20	30	4,5-5,0	135,0	-45,2	0,016	IV	360,43	3,34	0,301	

Старение сепарата перед баромембранным концентрированием выполняли при различных температурах (72-30 °C) и pH (9,2-4,5). При различных температурах старения и pH получены 4 образца водных золей. Золь, соответствующий образцу УФ17, получен концентрированием сепарата, прошедшего старение при 72 °C. Сепарат для золей УФ18 и УФ19 проходил двухэтапное старение: сначала при 72-70 °C, затем охлаждение до 50 и 30 °C. Охлаждение сепарата мало влияло на размер частиц, так частицы формировались в основном при повышенной температуре 72-70 °C. Однако в итоге частицы в золе УФ19 крупнее, чем в золях УФ17 и УФ18 (табл. 3). Это объясняется тем, что золь УФ19 получали по тупиковой схеме фильтрования, ко-

гда был перекрыт выход для концентрата, а концентрируемая среда многократно рециркулировалась через фильтр-патрон, что вызывало агрегацию частиц кремнезема. Размеры частиц в золе УФ20 крупнее, чем в остальных золях, что обусловлено более низким значением pH на стадии старения сепарата. Методом фотонной корреляционной спектроскопии (динамического светорассеяния) определены радиусы частиц в золях: 29,5 нм, 29,55 нм, 55,5 нм, 135 нм. Дзета-потенциал наночастиц определен методом электрофореза: (-39,5...-56,0) мВ. Последующей криохимической вакуум-сублимационной сушкой золей получены образцы порошков кремнезема УФ17, УФ18, УФ19 и УФ20. По данным электронной микроскопии при коэффициентах увеличения 100-7000 в результате вакуум-сублимационной сушки капель золя формировались сферические криогранулы размерами 60-100 мкм с пористо-сетчатой структурой и полостью в центральной части (рис. 2).

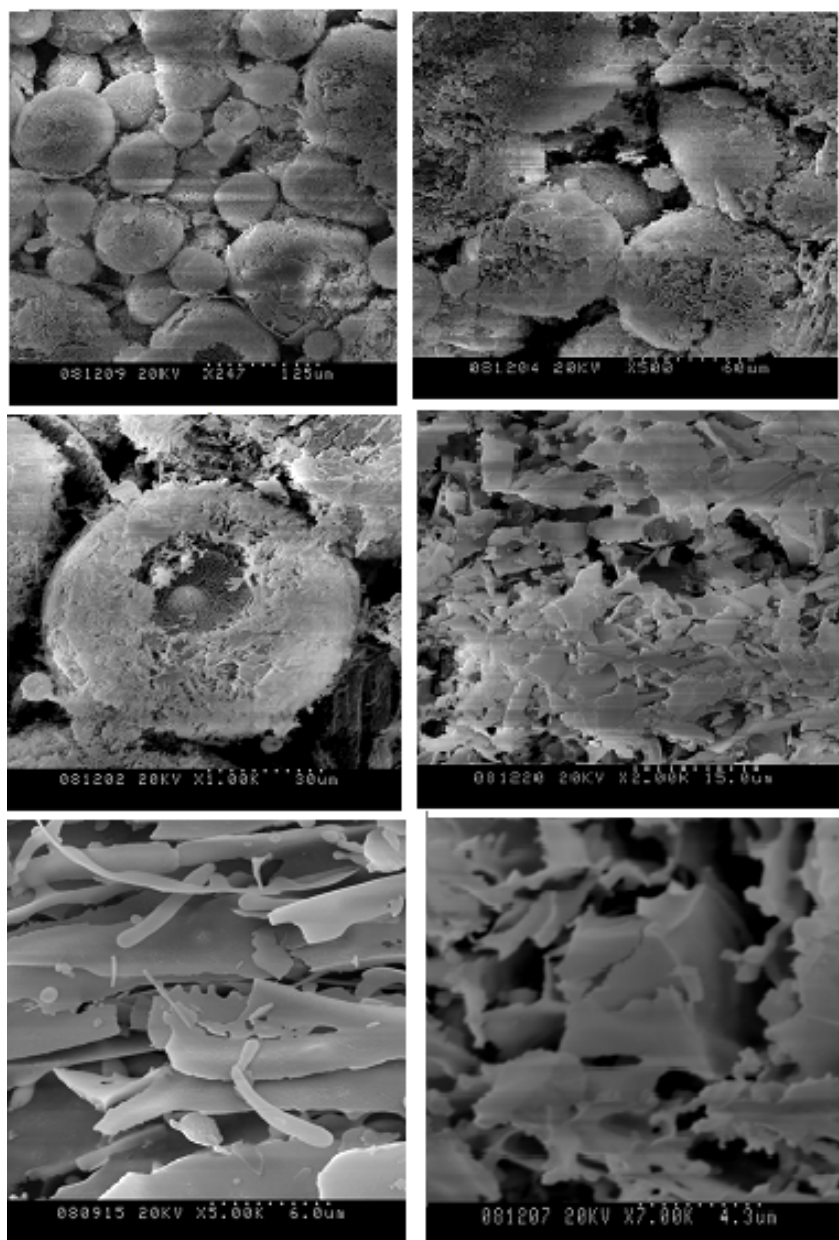


Рис. 2. Криогранулы порошка, полученные вакуум-сублимационной сушкой золя кремнезема.

При легком воздействии криогранулы разрушаются, образуя хлопья толщиной порядка 0,1-0,2 мкм. С помощью электронной микроскопии при коэффициентах увеличения 10000-100000 установлено, что размеры частиц порошков находятся в диапазоне 10-100 нм.

В различных сериях испытаний удалось получить порошки с высокой удельной площадью поверхности от 110-170 до 300-400 м²/г, удельным объемом пор 0,2-0,3 см³/г. Плотность порошков была 0,035-0,010 г/см³.

Показатель pH, при котором проводили старение исходного гидротермального раствора и последующее мембранные концентрирование золя, является одним из основных факторов, влияющих на характеристики порошка.

Снижение pH приводило к увеличению размеров частиц в золе перед криохимической сушкой. Формировались более крупные пористые частицы с внутренней структурой, таким образом, что после криохимической сушки золя удельная поверхность порошка увеличивалась.

По данным низкотемпературной адсорбции азота снижение pH приводило также к уменьшению среднего диаметра пор порошка (табл. 3).

Полученные порошки имеют перспективы промышленного использования в производстве сорбентов, катализаторов, полимеров, резины, красок.

Заключение

Разработан способ получения золей и нанопорошков кремнезема на основе гидротермальных растворов. Гидротермальные растворы концентрируют баромембранным фильтрованием с применением ультрафильтрационных мембран.

Ультрафильтрация обеспечивает достаточно низкое содержание примесей и стабильность водных золей кремнезема вплоть до самых высоких содержаний SiO₂.

Оставшийся в золях растворитель – воду удаляют с использованием криохимической технологии путем криокристаллизации капель золя в жидким азоте с последующей сублимацией под вакуумом твердого льда.

Способ позволяет получать порошки с размерами частиц в диапазоне 10-100 нм, удельной поверхностью до 500 м²/г, средними диаметрами пор 3-12 нм.

Ввод нанокремнезема при дозах 0,01-0,1 % по цементу приводит к повышению прочности бетона при сжатии на 15-22 %.

Золи и порошки имеют перспективы промышленного использования в производстве строительных материалов, сорбентов, катализаторов, полимеров, резины, красок.

Библиографический список

1. Бражников С.М., Генералов М.Б., Трутнев Н.С. Вакуум-сублимационный способ получения ультрадисперсных порошков неорганических солей // Химическое машиностроение. – 2004. – № 12.
2. Генералов М.Б. Криохимическая нанотехнология. -- М.: Академкнига, 2006. — 325 с.
3. Получение и применение гидрозолей кремнезема // Труды Московского химико-технологического института им. Д.И. Менделеева (под редакцией Фролова Ю.Г.). М.: МХТИ им. Д.И. Менделеева. 1979 – вып. 107. – 143 с.
4. Потапов В.В., Аллахвердов Г.Р., Сердан А.А. (мл.), Мин Г.М., Кашутина И.А. Получение водных золей кремнезема мембранным концентрированием гидротермальных растворов // Химическая технология. – 2008. – № 6. – С. 14-22.
5. Шабанова Н.А., Саркисов П.Д. Основы золь-гель технологии нанодисперсного кремнезема – М.: Академкнига, 2004. – 208 с.

Поступила в редакцию / Original article submitted: 21.04.2012